

制御のためのシステム同定 7章 モデルの選定法と妥当性の検証

川勝孝也

2024年6月13日

予測誤差法

予測誤差

時刻 n として、予測誤差 ϵ で構成される損失関数 $J(\theta)$ を最小化する θ を求める

$$\epsilon(n, \theta) = y(n) - \hat{y}(n|\theta) \quad (1)$$

対数尤度

予測誤差が平均0で分散 σ^2 の正規分布に従う場合、対数尤度は式(2)で求まる

$$\log \mathcal{L}(\theta) = -\frac{N}{2} \log(2\pi\sigma^2) - \frac{1}{2\sigma^2} \sum_{n=1}^N \epsilon^2(n, \theta) \quad (2)$$

損失関数

予測誤差に正規分布を仮定した最尤推定は、式(3)の最小2乗法と等価になる

$$\arg \max_{\theta} \mathcal{L}(\theta) = \arg \min_{\theta} J(\theta) = \arg \min_{\theta} \sum_{n=1}^N \{y(n) - \hat{y}(n|\theta)\}^2 \quad (3)$$

周波数特性

線形モデル

z^{-1} を1周期の遅延、 n を時刻として、出力 $y(n)$ と操作 $u(n)$ と雑音 $w(n)$ の関係

$$y(n) = G(z, \boldsymbol{\theta})u(n) + H(z, \boldsymbol{\theta})w(n) \quad (4)$$

周波数重み関数

式(4)で、パーセバルの定理より、損失関数に周波数重み関数 $W(\omega)$ が現れる

$$J(\boldsymbol{\theta}) = \frac{1}{2\pi} \int_{-\pi}^{\pi} W(\omega, \boldsymbol{\theta}) \left| \frac{Y(\omega)}{U(\omega)} - G(\omega, \boldsymbol{\theta}) \right|^2 d\omega \quad (5)$$

$$W(\omega, \boldsymbol{\theta}) = |H(e^{j\omega}, \boldsymbol{\theta})|^{-2} |U(\omega)|^2$$

式(4)が低域通過特性で、操作 u が白色性なら、低周波の同定精度が低下する

式誤差モデル

立式

z^{-1} を1周期の遅延、 n を時刻として、出力 $y(n)$ と操作 $u(n)$ と雑音 $w(n)$ の関係

$$A(z)y(n) = B(z)u(n) + w(n) = w(n) + \sum_{k=1}^{\infty} b(k)u(n)z^{-k} \quad (6)$$

求解

最適解 $\hat{\theta}$ が求まる条件は、式(7)の行列 R が正定値で、損失関数 $J(\theta)$ が凸関数

$$J(\theta) = \sum_{n=1}^N \left\{ y(n) - \theta^{\top} \varphi(n) \right\}^2 = c(N) - 2\theta^{\top} \mathbf{f}(N) + \theta^{\top} R(N) \theta$$
$$R(N) = \sum_{n=1}^N \left[\begin{array}{c|c} \varphi_y(n) \varphi_y^{\top}(n) & \varphi_y(n) \varphi_u^{\top}(n) \\ \hline \varphi_u(n) \varphi_y^{\top}(n) & \varphi_u(n) \varphi_u^{\top}(n) \end{array} \right] \quad (7)$$
$$\hat{\theta}(N) = R^{-1}(N) \mathbf{f}(N)$$

持続的励起性

正定値の条件

操作 u が $k_y + k_u$ 次の持続的励起性で、安定かつ可観測なら、行列 R は正定値

$$\varphi_y(n) = \begin{bmatrix} -y(n-1) \\ \vdots \\ -y(n-k_y) \end{bmatrix}, \quad \varphi_u(n) = \begin{bmatrix} u(n-1) \\ \vdots \\ u(n-k_u) \end{bmatrix} \quad (8)$$

持続的励起性

自己相関 ϕ_{uu} で、式(9)の行列 R_k が正則の場合、操作 u は k 次の持続的励起性

$$R_k = \begin{bmatrix} \phi_{uu}(0) & \phi_{uu}(1) & \cdots & \phi_{uu}(k-1) \\ \phi_{uu}(1) & \phi_{uu}(0) & \cdots & \phi_{uu}(k-2) \\ \vdots & \vdots & \ddots & \vdots \\ \phi_{uu}(k-1) & \phi_{uu}(k-2) & \cdots & \phi_{uu}(0) \end{bmatrix} \quad (9)$$

正弦波は2次の持続的励起性で、次数を高めるには、最大周期列信号を使う

状態空間モデル

状態方程式

離散量 n を時刻として、行列 A, B, C で記述される状態空間モデルを考えよう

$$\begin{aligned}\mathbf{x}(n) &= A\mathbf{x}(n) + B\mathbf{u}(n), \\ \mathbf{y}(n) &= C\mathbf{x}(n)\end{aligned}\quad (10)$$

ハンケル行列

インパルス応答 $g(n)$ でハンケル行列 H を構成し、可制御・可観測行列に分解

$$H = \begin{bmatrix} g(1) & g(2) & \cdots & g(k+1) \\ g(2) & g(3) & \cdots & g(k+2) \\ \vdots & \vdots & \ddots & \vdots \\ g(k+1) & g(k+2) & \cdots & g(2k+1) \end{bmatrix} = \begin{bmatrix} B \\ AB \\ \vdots \\ A^k B \end{bmatrix} \begin{bmatrix} C^\top \\ (CA)^\top \\ \vdots \\ (CA^k)^\top \end{bmatrix}^\top \quad (11)$$

可制御・可観測行列から B, C を取得して、シフト不変性を利用して A を算出

構造同定

事前に得られた物理知識に基づき、モデルの構造を決める必要がある

手順

1. 同定を行うモデルの構造を選定
2. 無駄時間やモデルの次数を決定

選定

交差検証を実施して、情報量基準に注目して、最適なモデル構造を選ぶ

評価

極零相殺や残差の白色性に問題がある場合、別のモデル構造を検討する

圧縮

平衡実現により、ハンケル特異値に注目して、モデルの次数を削減する

式誤差 (ARX) モデル

立式

z^{-1} を1周期の遅延、 n を時刻として、出力 $y(n)$ と操作 $u(n)$ と雑音 $w(n)$ の関係

$$A(z)y(n) = B(z)u(n) + w(n) \quad (12)$$

得失

- ❖ 雑音と操作の伝達関数の極が共通なので、入力側の外乱に適する
- ❖ 線形回帰なので最適化の計算量が低く、パラメータも削減できる
- ❖ 雑音に脆弱なので、高次だと過学習し、低次だと精度が悪化する

特性

周波数重み関数が高域通過特性を持つので、プレフィルタによる補正が必要

$$W(\omega, \theta) = |A(\omega, \theta)|^2 |U(\omega)|^2 \quad (13)$$

式誤差 (ARMAX) モデル

立式

z^{-1} を1周期の遅延、 n を時刻として、出力 $y(n)$ と操作 $u(n)$ と雑音 $w(n)$ の関係

$$A(z)y(n) = B(z)u(n) + C(z)w(n) \quad (14)$$

得失

- ❖ 雑音と操作の伝達関数の極が共通なので、入力側の外乱に適する
- ❖ 雑音専用の多項式を割り当てるので、モデルの柔軟性が改善する
- ❖ 雑音と操作が共通の極を持ち、出力誤差モデルよりも雑音に脆弱

特性

周波数重み関数が高域通過特性を持つので、プレフィルタによる補正が必要

$$W(\omega, \theta) = |A(\omega, \theta)|^2 |C(\omega, \theta)|^{-2} |U(\omega)|^2 \quad (15)$$

出力誤差 (OE) モデル

立式

z^{-1} を1周期の遅延、 n を時刻として、出力 $y(n)$ と操作 $u(n)$ と雑音 $w(n)$ の関係

$$y(n) = B(z)F^{-1}(z)u(n) + w(n) \quad (16)$$

得失

- ❖ 雑音と操作の伝達関数の極が独立なので、出力側の外乱に適する
- ❖ 雑音の分離に優れ、開ループ実験なら動特性を正確に推定できる
- ❖ 非線形最適化なので、計算量が重く、局所解に陥る可能性がある

特性

周波数重み関数が全域通過特性を持つので、プレフィルタによる補正が不要

$$W(\omega, \theta) = |U(\omega)|^2 \quad (17)$$

出力誤差 (BJ) モデル

立式

z^{-1} を1周期の遅延、 n を時刻として、出力 $y(n)$ と操作 $u(n)$ と雑音 $w(n)$ の関係

$$y(n) = B(z)F^{-1}(z)u(n) + C(z)D^{-1}(z)w(n) \quad (18)$$

得失

- ❖ 雑音と操作の伝達関数の極が独立なので、出力側の外乱に適する
- ❖ 雑音の分離に優れ、開ループ実験なら動特性を正確に推定できる
- ❖ 非線形最適化なので、計算量が重く、局所解に陥る可能性がある

特性

周波数重み関数が全域通過特性を持つ場合、プレフィルタによる補正が不要

$$W(\omega, \theta) = |C(\omega, \theta)|^{-2} |D(\omega, \theta)|^2 |U(\omega)|^2 \quad (19)$$

情報量基準

赤池情報量基準

k 次モデルを N 個の標本で同定して、誤差が分散 σ^2 の正規分布に従う場合、

$$\text{AIC} = -2 \log \mathcal{L}(\theta) + 2k \approx N \log \sigma^2 + 2k \quad (20)$$

ベイズ情報量基準

k 次モデルを N 個の標本で同定して、誤差が分散 σ^2 の正規分布に従う場合、

$$\text{BIC} = -2 \log \mathcal{L}(\theta) + k \log N \approx N \log \sigma^2 + k \log N \quad (21)$$

最終予測誤差

k 次モデルを N 個の標本で同定して、誤差が分散 σ^2 の正規分布に従う場合、

$$\text{FPE} = \frac{N+k}{N-k} \sigma^2 \approx \exp \frac{\text{AIC}}{N} \quad (22)$$

極零相殺

極零相殺

同定したモデルの極と零点が重複する場合は、モデルの次数が過剰と考える

$$G(s) = \frac{N(s)}{D(s)} = \frac{s+2}{(s+2)(s+5)} = \frac{1}{s+5} \quad (23)$$

信頼区間

極と零点がぴったり重なるのは稀なので、信頼区間の重複の有無を評価する

$$G(s) = \frac{s+2.01}{(s+1.99)(s+5)} \approx \frac{1}{s+5} \quad (24)$$

残差解析

残差の白色性

残差 $e(n)$ の白色性も、同定したモデルの妥当性の評価で、重要な根拠となる

$$\begin{aligned} e(n) &= H^{-1}(z) \{y(n) - G(z)u(n)\} \\ y(n) &= G(z)u(n) + H(z)w(n) \end{aligned} \quad (25)$$

残差の独立性

- ♣ 出力誤差モデルでは、残差 $e(n)$ と操作 $u(n)$ の独立性を重視して評価する
- ♣ フィードバック系の場合は、残差 $e(n)$ と操作 $u(n)$ が相関を持つので注意

推定誤差

雑音誤差

観測雑音やシステム雑音など、確率的な外乱に起因する、同定結果の曖昧性

$$y(n) = G_0(z)u(n) + w(n) = G(z, \boldsymbol{\theta})u(n) + \xi(n)$$

$$P(N) = \mathbf{E} \left[(\hat{\boldsymbol{\theta}} - \boldsymbol{\theta}_0)(\hat{\boldsymbol{\theta}} - \boldsymbol{\theta}_0)^\top \right] \approx \frac{\sigma^2}{N} \bar{R}^{-1} \quad (26)$$

$$\bar{R} = \mathbf{E} \left[\left(\frac{d}{d\boldsymbol{\theta}} \hat{y}(n|\boldsymbol{\theta}) \right) \left(\frac{d}{d\boldsymbol{\theta}} \hat{y}(n|\boldsymbol{\theta}) \right)^\top \right]$$

分散 σ^2 の雑音のもとで、推定値 $\hat{\boldsymbol{\theta}}$ の誤差の共分散 $P(N)$ は、標本数 N と反比例

系統誤差

モデルの次数など、システムの構造的な差異に起因する、同定結果の曖昧性

$$\hat{\boldsymbol{\theta}} = \arg \min_{\boldsymbol{\theta}} \frac{1}{2\pi} \int_{-\pi}^{\pi} W(\omega) |G(e^{j\omega}, \boldsymbol{\theta}) - G_0(e^{j\omega})|^2 d\omega \quad (27)$$

系統誤差により、伝達関数 G, G_0 が乖離して、周波数重み関数 $W(\omega)$ が現れる

対角正準形

状態方程式

連続量 t を時刻として、行列 A, B, C で記述される状態空間モデルを考えよう

$$\begin{aligned}\dot{\mathbf{x}}(t) &= A\mathbf{x}(t) + B\mathbf{u}(t), \\ \mathbf{y}(t) &= C\mathbf{x}(t)\end{aligned}\quad (28)$$

対角正準形

行列 A の固有値を $\lambda_1, \dots, \lambda_k$ として、式(29)の正則行列 T で、行列 A を対角化

$$\begin{aligned}\mathbf{x}(t) &= T\hat{\mathbf{x}}(t) \\ \dot{\hat{\mathbf{x}}}(t) &= \hat{A}\hat{\mathbf{x}}(t) + \hat{B}\mathbf{u}(t) \quad \text{where } \hat{A} = T^{-1}AT = \text{diag}(\lambda_1, \dots, \lambda_k) \\ \mathbf{y}(t) &= \hat{C}\hat{\mathbf{x}}(t)\end{aligned}\quad (29)$$

制御・観測

行列 \hat{B}, \hat{C} で固有値 λ_k に対応する要素が0だと、状態 \hat{x}_k の制御・観測が不可能

モデル圧縮

可制御性グラム行列

行列 W_c が正則なら、そのシステムの内部の状態 $x(t)$ を操作 $u(t)$ で制御できる

$$W_c = \int_0^{\infty} (e^{At}B)(e^{At}B)^{\top} dt \Rightarrow AW_c + W_cA^{\top} + BB^{\top} = 0 \quad (30)$$

可観測性グラム行列

行列 W_o が正則なら、そのシステムの内部の状態 $x(t)$ を出力 $y(t)$ で観測できる

$$W_o = \int_0^{\infty} (Ce^{At})^{\top}(Ce^{At})dt \Rightarrow A^{\top}W_o + W_oA + C^{\top}C = 0 \quad (31)$$

平衡実現による圧縮

適当な行列 S で、式(32)の対角化を行うと、ハンケル特異値 $\sigma_1, \dots, \sigma_k$ を得る

$$\hat{W}_c = SW_cS^{\top} = \hat{W}_o = S^{-\top}W_oS^{-1} = \text{diag}(\sigma_1, \dots, \sigma_k) \quad (32)$$

可制御性の証明

十分条件

式(33)の操作 $\mathbf{u}(t)$ により、時刻 $t_0 < 0$ から0にかけて、状態 \mathbf{x}_0 から $\mathbf{x}(0)$ に到達

$$\begin{aligned}\mathbf{u}(t) &= (e^{-At}B)^\top W_c^{-1}(\mathbf{x}(0) - e^{-At_0}\mathbf{x}_0) \\ \mathbf{x}(t) &= e^{At} \left(\mathbf{x}(0) + \int_0^t e^{-A\tau} B \mathbf{u}(\tau) d\tau \right) \Rightarrow \lim_{t_0 \rightarrow -\infty} \mathbf{x}(t_0) = \mathbf{x}_0\end{aligned}\quad (33)$$

必要条件

行列 W_c が非正則なら、式(34)で状態 \mathbf{x}_0 から0に到達する操作 $\mathbf{u}(t)$ は存在せず

$$\begin{aligned}\exists \mathbf{x}_0 \neq \mathbf{0}, \quad \mathbf{x}_0^\top W_c \mathbf{x}_0 = 0 &\Rightarrow (e^{A\tau}B)^\top \mathbf{x}_0 = \mathbf{0} \\ \lim_{t \rightarrow \infty} \mathbf{x}(t) &= \lim_{t \rightarrow \infty} e^{At} \left(\mathbf{x}_0 + \int_0^t e^{-A\tau} B \mathbf{u}(\tau) d\tau \right) = \mathbf{0} \\ \Rightarrow \mathbf{x}_0^\top \mathbf{x}_0 &= - \lim_{t \rightarrow \infty} \int_0^t \mathbf{x}_0^\top e^{-A\tau} B \mathbf{u}(\tau) d\tau = 0 \perp \mathbf{x}_0 \neq \mathbf{0}\end{aligned}\quad (34)$$

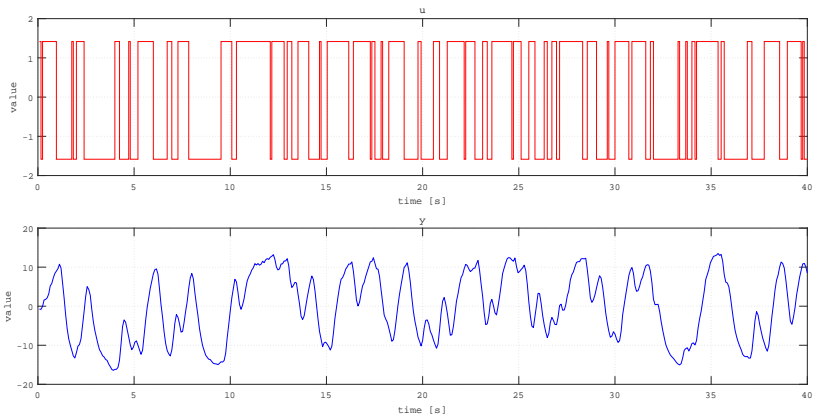
例題

ドライヤーの例題を通して、モデル構造の選定と妥当性の評価を行う

```
load dry2;  
ze = dtrend(dry2( 1:500));  
zv = dtrend(dry2(501:end));
```

実験

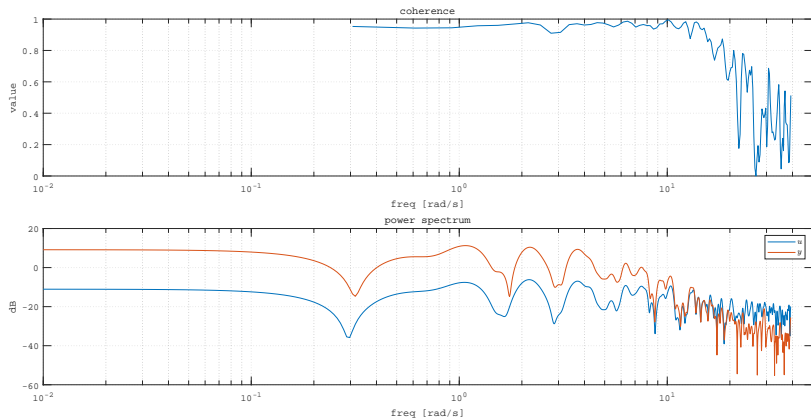
適当な最大周期列信号をシステムに入力して、実験データを取得する



```
idplot(ze);
```

周波数特性

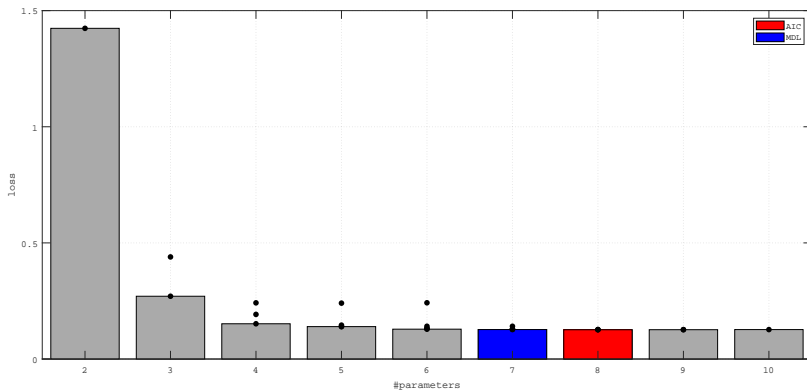
パワースペクトルとコヒーレンスを描画して、周波数特性を確認する



```
mscohere(ze.u, ze.y, [], [], [], 1/ze.Ts);
```

無駄時間と次数

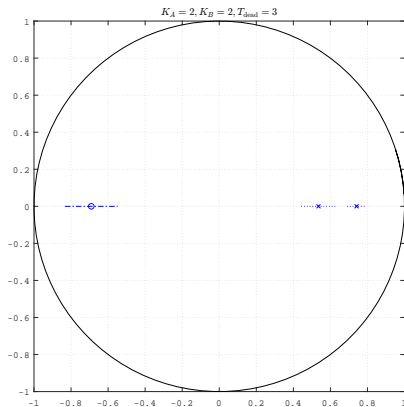
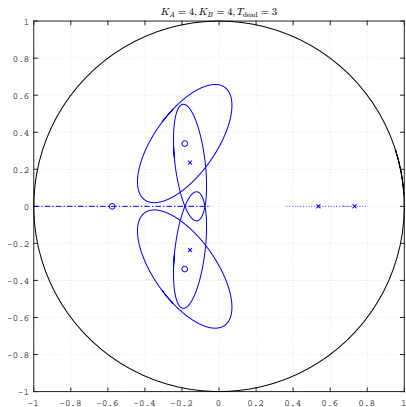
損失関数により、無駄時間を決定してから、モデルの次数を決定する



```
th = arx(ze, selstruc(arxstruc(ze, zv, struc(1:5, 1:5, 3)), 0));
```

極零相殺

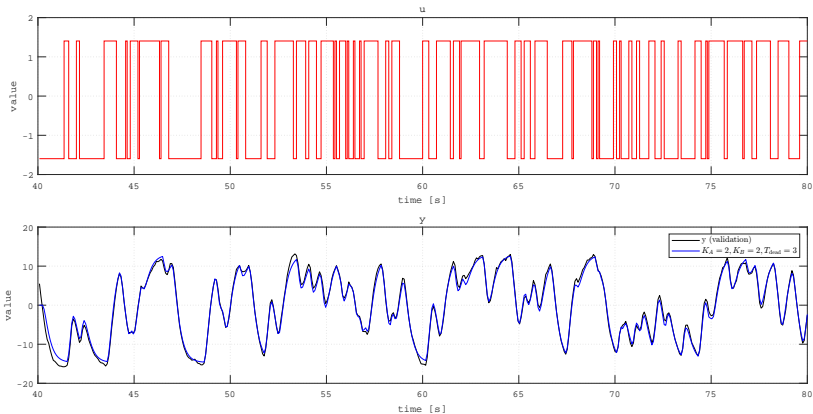
極と零点の信頼区間の重複が見られるので、モデルの次数を削減する



```
zplot(th2zp(th), 3);
```

時間領域で評価

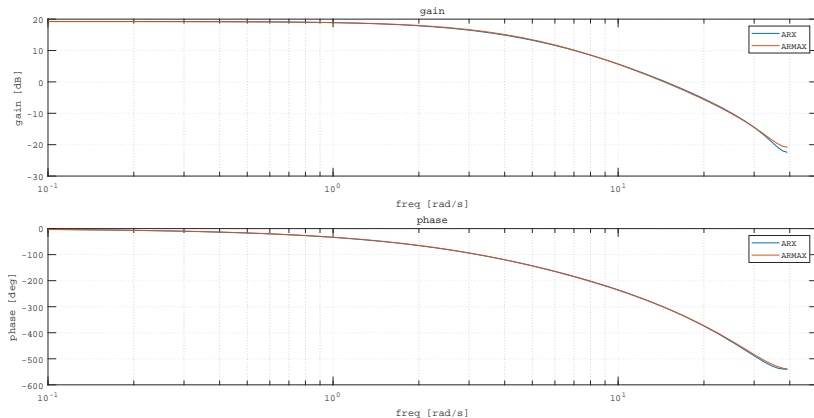
雑音なしの状態状態で時間発展を求め、実験データとの適合性を評価する



```
compare(zv, th);
```

周波数領域で評価

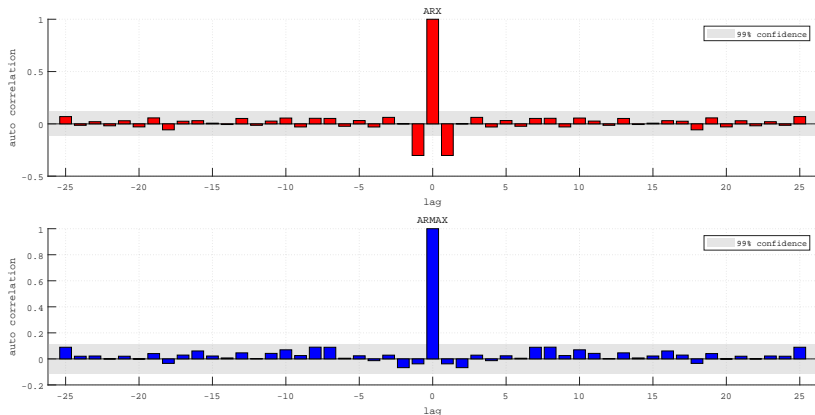
モデル構造を変えながら、ボード線図を描画して、信頼性を評価する



```
bodeplot(th);
```

残差解析

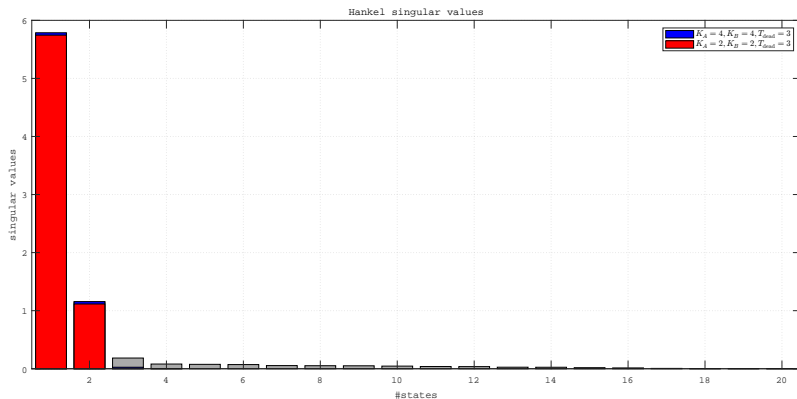
残差の自己相関を求め、残差の白色性を評価して、妥当性を棄却する



```
resid(zv, arx(ze, [2 2 3]));
```

ハンケル特異値

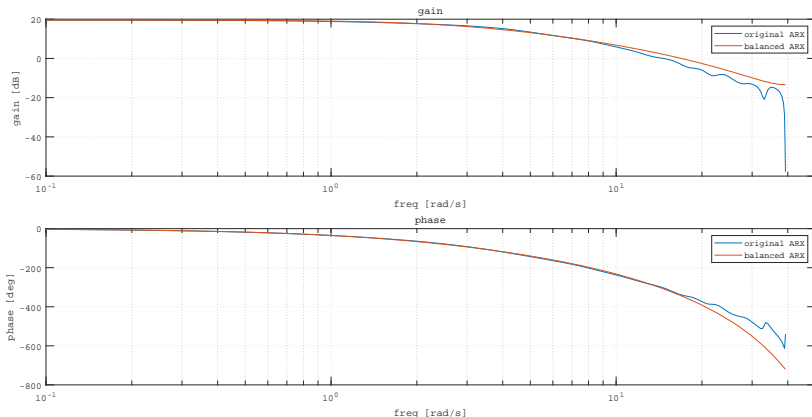
ハンケル特異値に注目すれば、雑音に適合した部分空間を特定できる



```
[thb, g] = balreal(arx(ze, [20 20 3]));
```

平衡実現

平衡実現により、可制御性・可観測性に注目して、次数を削減できる



```
bodeplot(xelim(balreal(arx(ze, [20 20 3])), 3:20));
```